

УДК 552.321.6+552.335

## ПЕРВИЧНЫЕ РАСПЛАВЫ ИЗВЕСТКОВО-ЩЕЛОЧНЫХ МАГНЕЗИАЛЬНЫХ БАЗАЛЬТОВ КЛЮЧЕВСКОГО ВУЛКАНА (КАМЧАТКА)

© 1998 г. С. А. Хубуная, член-корреспондент РАН А. В. Соболев

Поступило 12.01.98 г.

Одной из основных проблем магматической петрологии и геохимии является определение условий образования и состава мантийных источников островодужных магматических серий. В настоящее время проблема далека от решения, так как абсолютное большинство островодужных магм не равновесно с веществом мантии вследствие процессов разноглубинной кристаллизационной дифференциации. Таким образом, чтобы подойти к оценке мантийных параметров образования островодужных магм особенно необходима предварительная работа по определению состава и условий образования первичных расплавов, характеризующихся последним равновесием с мантийным веществом. Уникальную возможность исследования первичных расплавов островных дуг представляют магнезиальные базальты Ключевского вулкана. Это один из немногих вулканов на Камчатке и в мире в целом, характеризующийся проявлениями высокомагнезиального вулканизма, продукты которого могут быть равновесны с мантийным веществом [1–3 и др.].

Объектом исследования были 21 побочный прорыв известково-щелочных магнезиальных базальтов Ключевского вулкана. Особенности петрографии, минералогии и химизма этих вулканитов подробно описаны в [1]. Главной особенностью рассматриваемых вулканитов является присутствие во всех базальтах фенокристаллов высокомагнезиального оливина ( $Fo$  91.2–88) с включениями высокочромистой шпинели, которые могли кристаллизоваться из первичных мантийных расплавов [4].

Для оценки состава первичного расплава базальтов Ключевского вулкана исследованы первичные расплавные включения в высокомагнезиальных оливинах по всему спектру составов базальтов: от

высокомагнезиальных, прорыв Буличка ( $MgO$  12 мас. %), до низкомагнезиальных, прорыв Билюкай ( $MgO$  8 мас. %).

Главные элементы анализировались в минералях и стеклах на рентгеноспектральном микронализаторе “Самебах” в Институте вулканологии ДВО РАН, определение воды в экспериментально полученных и природных закалочных стеклах расплавных включений проводилось на ионном микронализаторе IMS-4f в Институте микроэлектроники РАН, Ярославль [5].

Гомогенизация расплавных включений проведена на высокотемпературной малоинерционной оптической установке системы Слуцкого–Соболева в атмосфере чистого гелия [6]. Полной гомогенизации расплавных включений в оливинах достичь не удалось. При температуре (1190–1200°C), соответствующей плавлению дочерних кристаллических фаз клинопироксена, объем газового пузырька переставал уменьшаться и сохранялся постоянным до момента разгерметизации включения (1450–1500°C). Поэтому был применен метод частичной гомогенизации. Включения доводились до плавления последнего кристалла-узника (высокомагнезиального клинопироксена) и закаливались после минимального (меньше 2 мин) времени выдержки. Составы закаленных расплавных включений при температуре плавления последнего кристалла из наиболее магнезиальных оливинов представлены в табл. 1.

Оценка состава первичного расплава получена путем численного моделирования обратного хода фракционной кристаллизации расплава в поле оливина от составов, отвечающих закаленным расплавным включениям, до равновесия с реально установленным наиболее магнезиальным оливином данной серии ( $Fo$  91.2 по [1]) с использованием метода, описанного в [7]. Степень окисленности железа в расплаве, необходимая для расчетных моделей, определялась на основе равновесия шпинель–расплав [8]. Полученные оценки фугитивности кислорода близки к буферу кварц–фаялит–магнетит [1].

Институт вулканологии

Дальневосточного отделения

Российской Академии наук,

Петропавловск-Камчатский

Институт геохимии и аналитической химии

им. В.И. Вернадского

Российской Академии наук, Москва

Таблица 1. Первичные расплавы базальтов Ключевского вулкана, мас. %

Компонент	1	2	3	4	Компонент	1	2	3	4
Составы частично гомогенизированных расплавных включений					Расчетные составы первичных расплавов, равновесных с Fo 91.2				
SiO <sub>2</sub>	49.13	49.67	47.53	49.10	SiO <sub>2</sub>	49.8	49.2	47.65	49.68
TiO <sub>2</sub>	0.90	0.94	1.00	0.70	TiO <sub>2</sub>	0.85	0.82	0.89	0.67
Al <sub>2</sub> O <sub>3</sub>	15.29	15.69	15.79	14.70	Al <sub>2</sub> O <sub>3</sub>	14.52	13.69	14.06	14.11
FeO*	8.27	8.45	8.67	8.37	FeO	8.59	8.94	9.12	8.62
MnO	0.14	0.12	0.15	0.12	MnO	0.13	0.10	0.13	0.10
MgO	9.85	7.42	7.82	10.60	MgO	13.15	13.47	13.36	13.25
CaO	10.31	12.10	13.06	11.60	CaO	9.79	10.55	11.63	10.78
Na <sub>2</sub> O	2.64	2.77	2.66	2.25	Na <sub>2</sub> O	2.51	2.42	2.37	2.11
K <sub>2</sub> O	0.55	0.79	0.74	0.31	K <sub>2</sub> O	0.52	0.69	0.66	0.29
Оливин-хозяин	89.5	88.5	90.4	88.1					
T <sub>зак</sub> , °C	1220	1205	1205	1220					

Примечание. 1, 2, 3, 4 – побочные прорывы магнезиальных базальтов соответственно Булочка, Цирк, Билюкай, Слюнина; T<sub>зак</sub> – температура закалки включения в экспериментальной установке; оливин-хозяин – содержание форстеритового компонента (%) в составе оливина минерала-хозяина.

Рассчитанные составы первичных расплавов для всех частично гомогенизированных расплавных включений отвечают пикритам (табл. 1). Кроме того, в составе расплавов установлены высокие содержания H<sub>2</sub>O [9]. На рис. 1 представлены отношения H<sub>2</sub>O к Al<sub>2</sub>O<sub>3</sub> в расплавных включениях в магнезиальных оливинах. Эти отношения практически не зависят от фракционирования ранних ликвидусных фаз (оливин, клинопироксен, хромшпинелид) и, следовательно, могут представлять таковые в первичных расплавах [9]. Однако измеренные отношения в расплавных включениях характеризуются значительными вариациями, не зависящими от состава вмещающего оливина. Это может быть связано с частичной потерей воды из включений как в природных условиях, так и в процессе эксперимента [9]. Поэтому наиболее реальными являются наибольшие значения, которые соответствуют интервалу H<sub>2</sub>O/Al<sub>2</sub>O<sub>3</sub> = 0.17–0.21. Этим значениям соответствуют 2.2–2.9 мас. % H<sub>2</sub>O в первичных магмах (пересчитано по содержанию Al<sub>2</sub>O<sub>3</sub> в первичных расплавах, табл. 1). Полученные содержания H<sub>2</sub>O в первичных островодужных магмах в 2–3 раза превышают более ранние оценки [10], подтверждая вывод работы [9] о том, что значительная доля субдукционной воды поступает обратно в продуктах надсубдукционного магматизма.

Условия образования первичных магм могут быть оценены на основании их составов и предположения их равновесия с мантийным веществом перцолит-гарцбургитового ряда. Такая оценка проведена на основе диаграммы OI-PI-Q-Di с изобарами давлений, определенных по экспери-

ментальным данным в присутствии H<sub>2</sub>O [4, 11]. Полученные результаты позволяют предполагать, что расплав отделился от мантийного вещества при давлениях, соответствующих 15–18 кбар (рис. 2). Эти давления отвечают глубине мантийного очага в 50–60 км и соответствуют оценкам

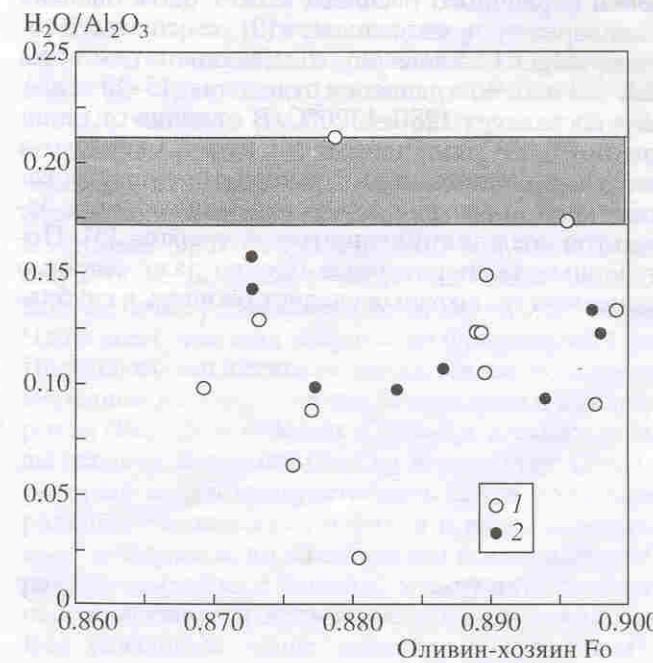
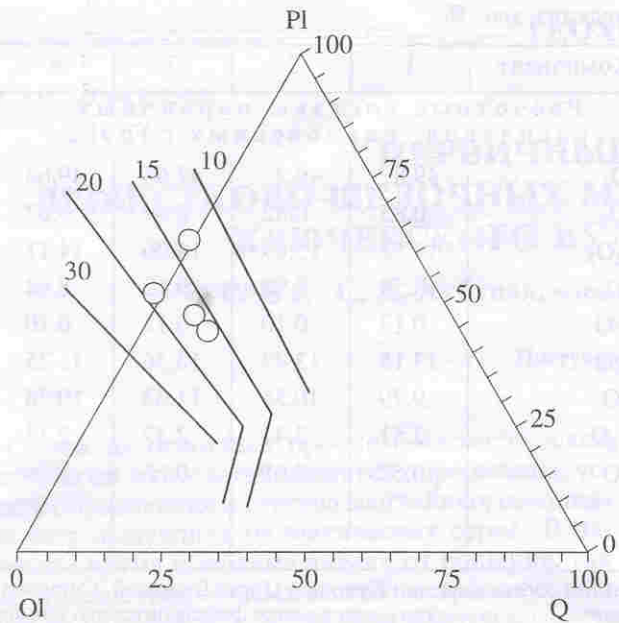


Рис. 1. Содержания H<sub>2</sub>O (нормализованы к Al<sub>2</sub>O<sub>3</sub>) в расплавных включениях в магнезиальных оливинах базальтов Ключевского вулкана. 1 – данные этой работы; 2 – данные [9]. Защищирован принятый интервал исходных значений (см. текст).



**Рис. 2.** Оценки давлений образования первичных расплавов ключевских базальтов на проекции системы оливин (Ol)-плагиоклаз(Pl)-кремнекислота(Q)-кальциевый пироксен(Di) из вершины Di. Изобары равновесия с перцолитовым веществом показаны для водосодержащих систем с содержанием  $\text{H}_2\text{O}$  в расплаве 2–3 мас. % [4, 11]. Цифрами показаны давления, кбар; значками – составы первичных расплавов из табл. 1.

по геофизическим данным [12]. Температура отделения первичного расплава может быть оценена по алгоритму, приведенному в [9], на основе его состава ( $\text{MgO}$  13.5 мас. %), содержания в нем воды (2.2–2.9 мас. %) и давления отделения (15–20 кбар). Она составляет 1280–1320°C. В отличие от бонинитов [9, 13], полученные оценки температур и давлений сопоставимы с условиями существования мантийного рестита после выплавления базальтов срединно-океанических хребтов [5]. Полученные температурные оценки даже значительно ниже, чем те, которые следует ожидать в глубин-

ной части мантийных колонн под типичными срединно-океаническими хребтами (более 1350°C для  $P > 15$  кбар по [5]). Поэтому для происхождения первичных магм Ключевского вулкана может быть предложена модель выплавления примитивного (ранее не плавленного) мантийного источника базальтов срединно-океанических хребтов под действием водосодержащего субдукционного компонента.

Работа поддержана Российским фондом фундаментальных исследований (гранты 96-05-66211 и 96-05-66014), а также грантом Министерства науки и техники РФ “Магматизм Курило-Камчатского региона”.

## СПИСОК ЛИТЕРАТУРЫ

- Хубуная С.А., Богоявленский С.О., Новгородцева Т.Ю., Округина А.И. // Вулканология и сейсмология. 1993. № 3. С. 46–68.
- Kersring A.B., Arculus R.J.J. // Petrology. 1994. V. 35. № 1. P. 1–41.
- Арискин А.А., Бармина Г.С., Озеров А.Ю. и др. // Петрология. 1995. Т. 3. № 5. С. 496–521.
- Sobolev A.V., Danyushevsky L.V. // J. Petrol. V. 35. P. 1183–1211.
- Соболев А.В. // Петрология. 1996. Т. 4. № 3. С. 228–239.
- Соболев А.В., Слуцкий А.Б. // Геология и геофизика. 1984. № 12. С. 97–110.
- Соболев А.В., Никогосян И.К. // Петрология. 1994. Т. 2. № 2. С. 131–168.
- Danyushevsky L.V., Sobolev A.V. // Petrol. and Miner. 1996. V. 57. P. 229–241.
- Sobolev A.V., Chaussidon M. // Earth and Planet. Sci. Lett. 1996. V. 137. P. 45–55.
- Thompson A.V. // Nature. 1992. V. 358. P. 295–302.
- Danyushevsky L.V., Green D.H., Falloon T.J., Sobolev A.V. // Miner. Mag. 1994. V. 58A. P. 209–210.
- Горшков Г.С. // ДАН. 1956. Т. 106. № 4. С. 703–705.
- Соболев А.В., Портнягин М.В., Дмитриев Л.В. и др. // Петрология. 1993. Т. 1. № 4. С. 379–412.